

# 一阶倒立摆系统仿真

## 一阶倒立摆系统仿真

- 1. 仿真软件
- 2. 倒立摆动态系统建模
  - 2.1 倒立摆系统的简化
  - 2.2 倒立摆系统运动学方程推导
  - 2.3 线性化处理
- 3. 倒立摆状态空间反馈控制
  - 3.1 状态空间方程一般形式
  - 3.2 倒立摆系统状态空间方程
  - 3.3 加入状态反馈控制
- 4. LQR控制器实现反馈控制
  - 4.1 LQR控制器
  - 4.2 Matlab求解
- 5. Simulink仿真建模与动画效果
  - 5.1 仿真环境搭建
  - 5.2 仿真环境所需代码

## 1. 仿真软件

本次仿真所采用的求解软件是MATLAB。

## 2. 倒立摆动态系统建模

### 2.1 倒立摆系统的简化

我们可以简化倒立摆系统为如图1所示的形式，简单来说就是通过调控滑块运动状态，使杆直立不倒。

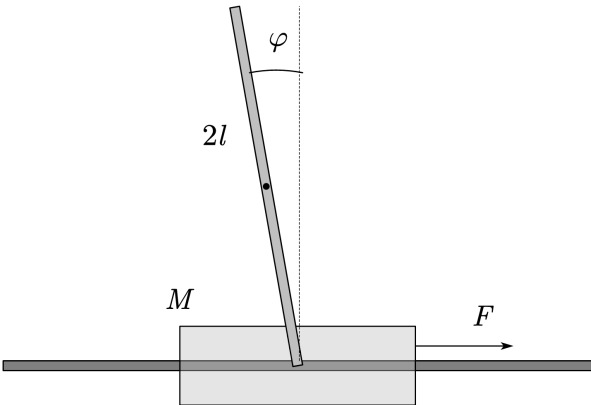


图1 倒立摆模型示意图

下表是倒立摆系统的各个参数：

符号	物理含义	参数值
M	滑块质量	0.2275kg
m	摆杆质量	0.0923kg
l	摆杆转动轴心到杆质心的长度	0.185m
J	摆杆转动惯量	0.00412kg*m^2

## 2.2 倒立摆系统运动学方程推导

接下来我们来对倒立摆系统的运动学方程进行推导。如图2所示，摆杆长度为 $2l$ ，倾角为 $\varphi$ 。我们设滑块质心位置为 $(X, 0)$ ，摆杆质心位置为 $(X_m, Y_m)$ 。

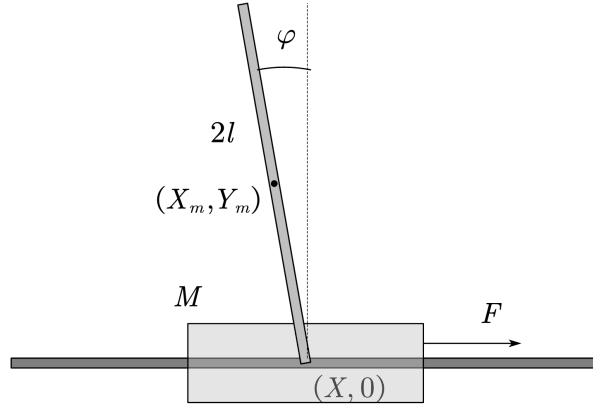


图2 坐标示意图

我们可以列出如下表达式：

$$X_m = X - l \cdot \sin \varphi \quad (1)$$

$$Y_m = l \cdot \cos \varphi \quad (2)$$

对(1), (2)式分别求对时间 $t$ 的一阶导数，可得到如下表达式：

$$\dot{X}_m = \dot{X} - l \cdot \dot{\varphi} \cdot \cos \varphi \quad (3)$$

$$\dot{Y}_m = -l \cdot \dot{\varphi} \cdot \sin \varphi \quad (4)$$

基础表达式已经写好，下面我们可以使用拉格朗日力学方程来建立倒立摆系统方程。拉格朗日力学方程如下：

$$\mathcal{L} = T - V$$

$$\frac{d}{dt} \left( \frac{\partial \mathcal{L}}{\partial \dot{q}_i} \right) - \frac{\partial \mathcal{L}}{\partial q_i} = Q_i$$

其中 $T, V$ 分别是这个力学体系的动能和势能， $Q_i$ 为 $q_i$ 所对应的非保守的广义力。为了简便计算，我们做出如下规定：滑块所在平面的势能 $V_M = 0$ ，则摆杆势能为 $V_m = mgl \cos \varphi$ ，总势能为 $V = V_M + V_m = mgl \cos \varphi$ 。接下来关于动能 $T$ 的推导会相对复杂一些，因为摆杆的动能包括了平动和转动。

$$\begin{aligned} T &= \frac{1}{2} M \dot{X}^2 + \frac{1}{2} m (\dot{X}_m^2 + \dot{Y}_m^2) + \frac{1}{2} J \omega^2 \\ &= \frac{1}{2} M \dot{X}^2 + \frac{1}{2} m (\dot{X}^2 - 2l\dot{X}\dot{\varphi} \cos \varphi + l^2 \dot{\varphi}^2 \cos^2 \varphi + l^2 \dot{\varphi}^2 \sin^2 \varphi) + \frac{1}{2} J \omega^2 \\ &= \frac{1}{2} M \dot{X}^2 + \frac{1}{2} m (\dot{X}^2 - 2l\dot{X}\dot{\varphi} \cos \varphi + l^2 \dot{\varphi}^2) + \frac{1}{2} J \omega^2 \\ &= \frac{1}{2} (M + m) \dot{X}^2 + \frac{1}{2} m l^2 \dot{\varphi}^2 - m l \dot{X} \dot{\varphi} \cos \varphi + \frac{1}{2} J \omega^2 \\ \mathcal{L} = T - V &= \frac{1}{2} (M + m) \dot{X}^2 + \frac{1}{2} m l^2 \dot{\varphi}^2 - m l \dot{X} \dot{\varphi} \cos \varphi + \frac{1}{2} J \omega^2 - mgl \cos \varphi \end{aligned} \quad (5)$$

下面需要将式(5)代入到拉格朗日力学方程中，对于本系统来说，拉格朗日力学方程如下：

$$\begin{aligned} \frac{d}{dt} \left( \frac{\partial \mathcal{L}}{\partial \dot{X}} \right) - \frac{\partial \mathcal{L}}{\partial X} &= F \\ \frac{d}{dt} \left( \frac{\partial \mathcal{L}}{\partial \dot{\varphi}} \right) - \frac{\partial \mathcal{L}}{\partial \varphi} &= 0 \end{aligned} \quad (6)$$

式子(5):  $\mathcal{L} = T - V = \frac{1}{2} (M + m) \dot{X}^2 + \frac{1}{2} m l^2 \dot{\varphi}^2 - m l \dot{X} \dot{\varphi} \cos \varphi + \frac{1}{2} J \omega^2 - mgl \cos \varphi$ ，代入后的结果如下：

$X$  :

$$\begin{aligned} \frac{\partial \mathcal{L}}{\partial \dot{X}} &= (M + m) \dot{X} - m l \dot{\varphi} \cos \varphi \\ \frac{\partial \mathcal{L}}{\partial X} &= 0 \end{aligned}$$

$$\begin{aligned} \frac{d}{dt} \left( \frac{\partial \mathcal{L}}{\partial \dot{X}} \right) &= (M+m)\ddot{X} - ml(\ddot{\varphi} \cos \varphi - \dot{\varphi}^2 \sin \varphi) \\ \therefore \frac{d}{dt} \left( \frac{\partial \mathcal{L}}{\partial \dot{X}} \right) - \frac{\partial \mathcal{L}}{\partial X} &= (M+m)\ddot{X} - ml(\ddot{\varphi} \cos \varphi - \dot{\varphi}^2 \sin \varphi) = F \end{aligned} \quad (7)$$

$\varphi$  :

$$\begin{aligned} \frac{\partial \mathcal{L}}{\partial \dot{\varphi}} &= ml^2\dot{\varphi} - ml\dot{X} \cos \varphi + J\dot{\varphi} \\ \frac{\partial \mathcal{L}}{\partial \varphi} &= ml\dot{X}\dot{\varphi} \sin \varphi + mgl \sin \varphi \\ \frac{d}{dt} \left( \frac{\partial \mathcal{L}}{\partial \dot{\varphi}} \right) &= ml^2\ddot{\varphi} - ml(\ddot{X} \cos \varphi - \dot{X}\dot{\varphi} \sin \varphi) + J\ddot{\varphi} \\ \therefore \frac{d}{dt} \left( \frac{\partial \mathcal{L}}{\partial \dot{\varphi}} \right) - \frac{\partial \mathcal{L}}{\partial \varphi} &= ml^2\ddot{\varphi} - ml(\ddot{X} \cos \varphi - \dot{X}\dot{\varphi} \sin \varphi) + J\ddot{\varphi} - ml\dot{X}\dot{\varphi} \sin \varphi - mgl \sin \varphi \\ &= ml^2\ddot{\varphi} - ml\ddot{X} \cos \varphi + J\ddot{\varphi} - mgl \sin \varphi \\ &= l\ddot{\varphi} - \ddot{X} \cos \varphi + \frac{J}{ml}\ddot{\varphi} - g \sin \varphi = 0 \end{aligned} \quad (8)$$

至此，倒立摆系统的动力学方程推导完毕。

## 2.3 线性化处理

上文得到的式(7), (8), 可以看出，倒立摆系统的为非线性微分方程，为了后面数学分析的简便性和应用LQR控制器进行反馈控制，我们需要对式(7), (8)进行线性化处理。

当 $\varphi \rightarrow 0$ 时， $\sin \varphi \rightarrow \varphi$ ,  $\cos \varphi \rightarrow 1$ ，并且 $\dot{\varphi}^2$ 是 $\varphi$ 的高阶无穷小，因此 $\dot{\varphi}^2 \sin \varphi \rightarrow 0$ 。

线性化处理后，得到如下微分方程组：

$$\begin{cases} (M+m)\ddot{X} - ml\ddot{\varphi} = F \\ l\ddot{\varphi} - \ddot{X} + \frac{J}{ml}\ddot{\varphi} - g\varphi = 0 \end{cases} \quad (9)$$

接下来我们会建立倒立摆系统的状态空间方程。

## 3. 倒立摆状态空间反馈控制

### 3.1 状态空间方程一般形式

系统状态空间方程一般形式如下所示：

$$\begin{cases} \dot{Z} = AZ + BU \\ Y = CZ + DU \end{cases} \quad (10)$$

其中，向量 $Z$ 代表系统状态变量，向量 $U$ 代表系统输入，向量 $Y$ 代表系统输出，矩阵 $A, B, C, D$ 为系统状态矩阵。

另外，状态空间方程与经典控制理论中的传递函数 $G(s)$ 关系如下：

$$G(s) = C(SI - A)^{-1}B + D \quad (11)$$

### 3.2 倒立摆系统状态空间方程

结合上面所说的状态空间方程的形式，我们需要将倒立摆系统微分方程化为同样的形式。在倒立摆系统中，我们主要关注这四个状态量：滑块的位移 $X$ 与速度 $\dot{X}$ 、摆杆的倾角 $\varphi$ 与角速度 $\dot{\varphi}$ 。所以，我们做出如下规定：

$$Z = \begin{bmatrix} z_1 \\ z_2 \\ z_3 \\ z_4 \end{bmatrix}$$

$$\begin{aligned} z_1 &= X \\ z_2 &= \dot{X} \\ z_3 &= \varphi \\ z_4 &= \dot{\varphi} \end{aligned}$$

之后我们可以将倒立摆动态系统微分方程化为如下形式：

$$\begin{aligned} (M+m)\dot{z}_2 - ml\dot{z}_4 &= F \\ l\dot{z}_4 - \dot{z}_2 + \frac{J}{ml}\dot{z}_4 - gz_3 &= 0 \end{aligned} \quad (12)$$

通常，在状态空间方程中，习惯性将系统输入记作 $U$ ，因此这里我们令 $U = F$ 。为了表达式的简便性，我们记 $a = \frac{J}{ml}$ 。随后将微分方程化为矩阵形式，即为倒立摆开环状态空间方程了：

$$\begin{bmatrix} \dot{z}_1 \\ \dot{z}_2 \\ \dot{z}_3 \\ \dot{z}_4 \end{bmatrix} = \begin{bmatrix} 0 & 1 & 0 & 0 \\ 0 & 0 & \frac{mgl}{Ml + Ma + ma} & 0 \\ 0 & 0 & 0 & 1 \\ 0 & 0 & \frac{(M+m)g}{Ml + Ma + ma} & 0 \end{bmatrix} \cdot \begin{bmatrix} z_1 \\ z_2 \\ z_3 \\ z_4 \end{bmatrix} + \begin{bmatrix} 0 \\ \frac{l+a}{Ml + Ma + ma} \\ 0 \\ \frac{1}{Ml + Ma + ma} \end{bmatrix} \cdot U \quad (13)$$

### 3.3 加入状态反馈控制

根据式(10)中 $\dot{Z} = AZ + BU$ ，我们令 $U = -KZ$ ，得到：

$$\dot{Z} = (A - BK)Z + BU \quad (14)$$

其中， $K = [k_1, k_2, k_3, k_4]$ 。此外，我们一般把矩阵 $(A - BK)$ 称作闭环控制状态空间矩阵 $A_{cl}$ 。系统闭环状态反馈控制示意图如图3所示。

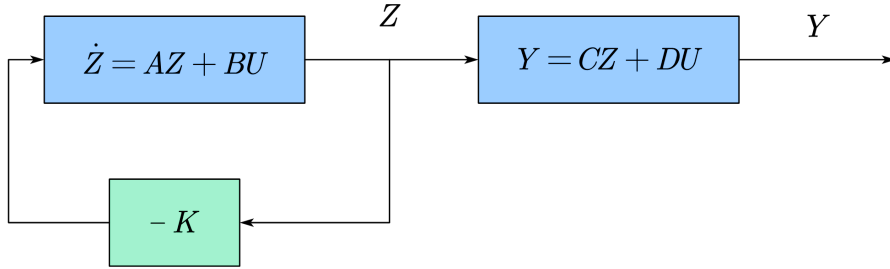


图3 系统闭环状态反馈控制

之后，我们把 $U = -KZ$ 带入到式(11)中去：

$$\begin{bmatrix} \dot{z}_1 \\ \dot{z}_2 \\ \dot{z}_3 \\ \dot{z}_4 \end{bmatrix} = \begin{bmatrix} 0 & 1 & 0 & 0 \\ 0 & 0 & \frac{mgl}{Ml + Ma + ma} & 0 \\ 0 & 0 & 0 & 1 \\ 0 & 0 & \frac{(M+m)g}{Ml + Ma + ma} & 0 \end{bmatrix} \cdot \begin{bmatrix} z_1 \\ z_2 \\ z_3 \\ z_4 \end{bmatrix} + \begin{bmatrix} 0 \\ \frac{l+a}{Ml + Ma + ma} \\ 0 \\ \frac{1}{Ml + Ma + ma} \end{bmatrix} \cdot [-k_1 \quad -k_2 \quad -k_3 \quad -k_4] \cdot \begin{bmatrix} z_1 \\ z_2 \\ z_3 \\ z_4 \end{bmatrix} \quad (15)$$

## 4. LQR控制器实现反馈控制

### 4.1 LQR控制器

在现代控制理论中，在我们得到矩阵 $A_{cl}$ 后，求其特征值，就能够知道控制系统的表现能力，如系统是否能稳定、是否能快速收敛到稳定值等等。因此，在设计控制器时，重点就是如何配置矩阵 $A_{cl}$ 的特征值，如同在经典控制理论中配置传递函数的极点。这时我们引入了LQR控制器。

LQR一般形式表示如下：

$$J = \int_0^\infty (x^T Q x + u^T R u) dt$$

其中,  $x$  为被控对象的状态变量;  $u$  为被控对象的输入量; 矩阵  $Q$  和  $R$  分别代表状态变量  $x$  及输入量  $u$  的权重,  $Q, R$  均为对角矩阵, 对角线中的值代表权重系数。关于LQR控制器的详细推导请参考这篇[文章](#)。

## 4.2 Matlab求解

下面我们使用Matlab计算出矩阵  $K$ , 并求解倒立摆系统的微分方程 (数值解)。

```
%% lqrcontrol.m
clear all;
%% 系统参数
M = 0.2275;
m = 0.0923;
g = 9.8;
L = 0.185;
J = 0.00412;

%% 状态空间矩阵
a=J/(m*L);
fen_mu=M*L+M*a+m*a;

%% 状态空间矩阵
A=[
    0 1 0 0;
    0 0 m*g*L/fen_mu 0;
    0 0 0 1;
    0 0 (m+M)*g/fen_mu 0
];
B=[0;(L+a)/fen_mu;0;1/fen_mu];
C=eye(4);
D=0;

%% 建立系统
cart=ss(A,B,C,D);

%% LQR
Q = diag([10 1 10 1]);% x,dot(x),phi,dot(phi)
R = 0.001;
% 计算出k
K =lqr(cart,Q,R);
% 计算Ac1的特征值, 观察系统稳定性
eig(A-B*K)

%% 求解微分方程
tspan=0:0.05:10;
y_0=[0;0;pi/12;0];
[t,y] = ode45(@(t,y)solve_cart(t,y,m,M,L,g,J,K),tspan, y_0);

figure;
grid on;
hold on;
plot(tspan,y(:,1));
plot(tspan,y(:,2));
plot(tspan,y(:,3));
plot(tspan,y(:,4));
legend({'x', '$$\dot{x}$$', '$$\varphi$$', '$$\dot{\varphi}$$'}, 'Interpreter', 'latex');
hold off
```

运行 `lqrcontrol.m` 文件后, 就能够获得倒立摆系统的四个状态量随时间变化趋势。

下面是摆杆初始倾角  $\varphi_0 = 15^\circ$  的状态量变化图:

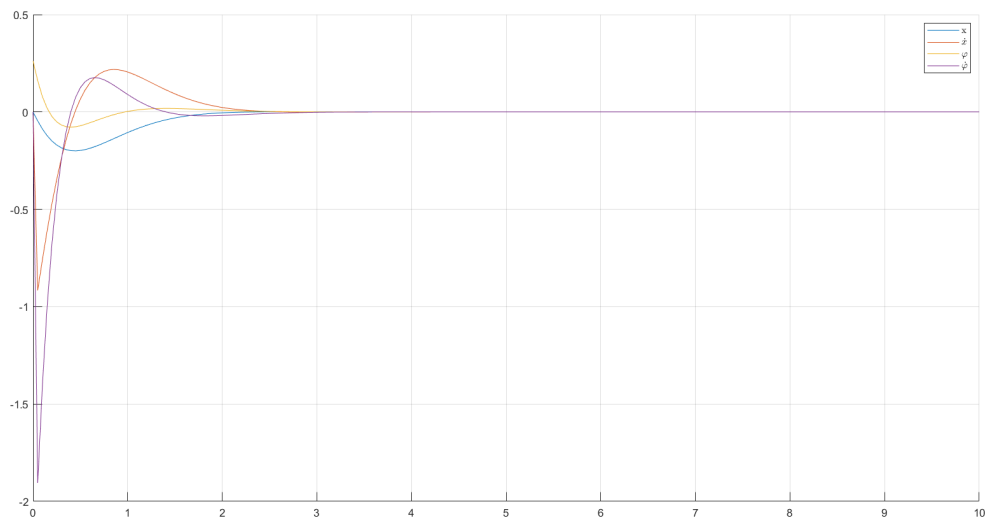


图4 初始倾角为15°时，倒立摆系统的状态量变化图

从上图能够清晰地看到，摆杆在滑块的运动控制下3s内保持直立平衡，响应速度较快，系统输入量也较为合适，避免了过高要求的输入。

下面我们通过Matlab中的Simulink进行倒立摆系统的仿真。

## 5. Simulink仿真建模与动画效果

### 5.1 仿真环境搭建

我们通过Matlab中的Simulink模块来搭建仿真环境，并借助Simulink中的Simscape搭建倒立摆系统的物理仿真。

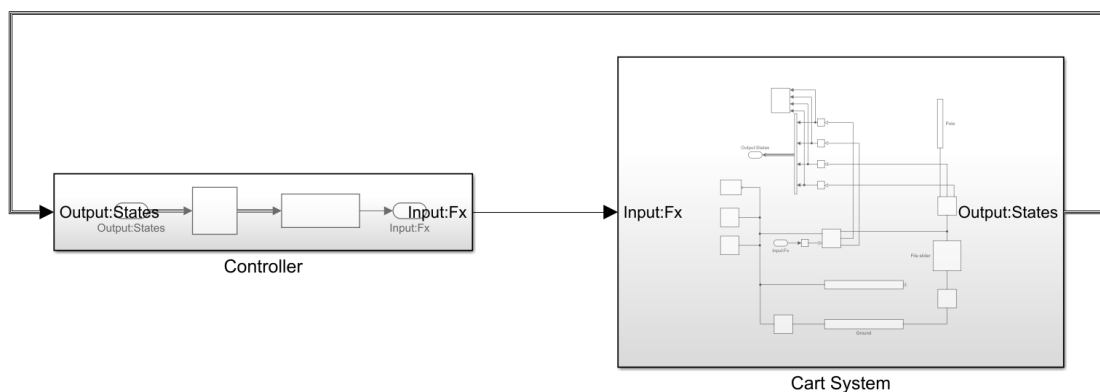


图5 Simulink仿真环境总览

从上图我们可以看到，整个仿真环境分为2个Subsystem，左边是Controller，右边是倒立摆物理系统Cart System仿真，两边组成了一个闭环控制系统。我们首先来看Cart System：

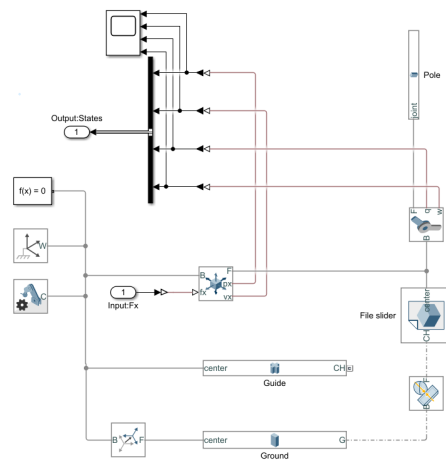


图6 Cart System建模总览

Cart System环境配置步骤如下：

1. 设置Simulink求解器、世界坐标系和机械配置（模拟重力加速度）；
2. 添加所需的物理实体，包括导轨地面、滑块、摆杆、转轴以及旋转关节。对于滑块来说，它是系统的主动元件，配置一个三轴自由度的属性（实际滑块是X轴单轴运动），随后对各个实体设置好合适的大小以及坐标系。上述滑块由Solidworks软件建模得到并导入Simscape中；
3. 在滑块与导轨地面间添加实体碰撞效果Spatial Contact；
4. 由于Simscape中的状态量和Simulink中的状态量数据类型并不一致，所以需要设置好相应的数据转换器；
5. 将需要的四个状态量输出，并用scope模块观察。

下面我们来看Controller：

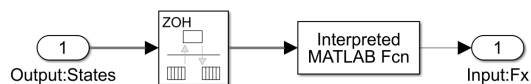


图7 Controller建模总览

Controller配置步骤如下：

1. 将Cart System的输出（四个状态量）作为控制器的输入；
2. 添加Rate Transition，并设置Controller模块每隔0.001s触发后面的Matlab求解方程；
3. 添加Interpreted MATLAB Function，设置预先写好的Matlab控制算法脚本（具体内容在5.2节）。

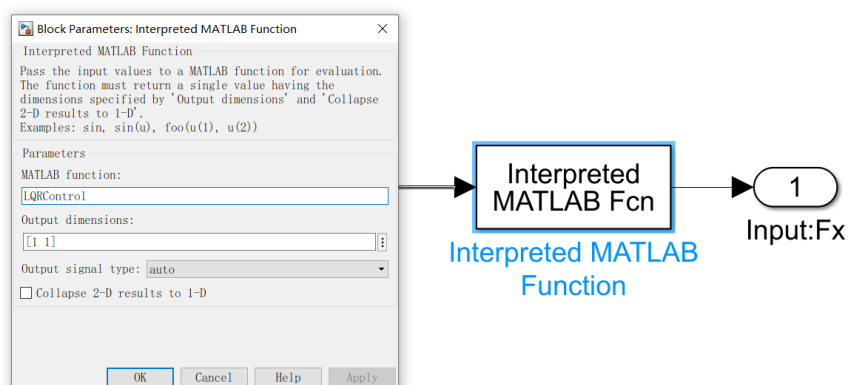


图8 Interpreted MATLAB Function具体设置

## 5.2 仿真环境所需代码

代码编写步骤如下：

1. 编写倒立摆系统初始参数、控制算法函数脚本`startUp.m`。在运行脚本后，仿真模块能从Matlab工作区查找到系统初始参数，以及函数名；
2. 编写LQR控制器脚本`cartLQR.m`，与上文`lqrcontrol.m`文件求解微分方程过程一只，去除了绘图部分；
3. 编写反馈控制脚本`LQRControl.m`，也就是状态反馈控制中的 $U = -KX$ 的代码实现，如下所示：

```
% LQRControl.m
function Fx = LQRControl(states)
global K_LQR
%% desired value
X_des = [0;0;0;0];
%% control law
Fx = K_LQR*(X_des - states);
end
```

我们在Cart System中添加了Scope模块，可以在仿真模型运行后观察倒立摆系统的四个状态量，如图10所示：

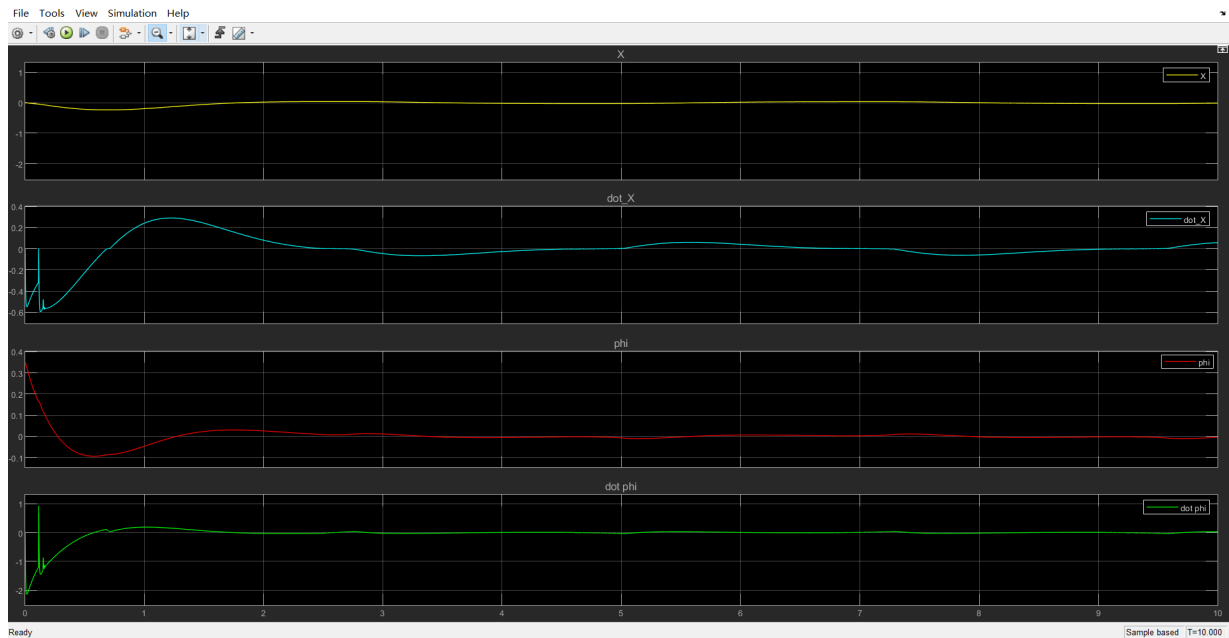


图10 仿真环境下的四个状态量

至此，关于一阶倒立摆系统的建模仿真结束。